

Základy ultrazvukové diagnostiky

BAM31LET Lékařská technika

Jan Havlík | Katedra teorie obvodů | xhavlikj@fel.cvut.cz

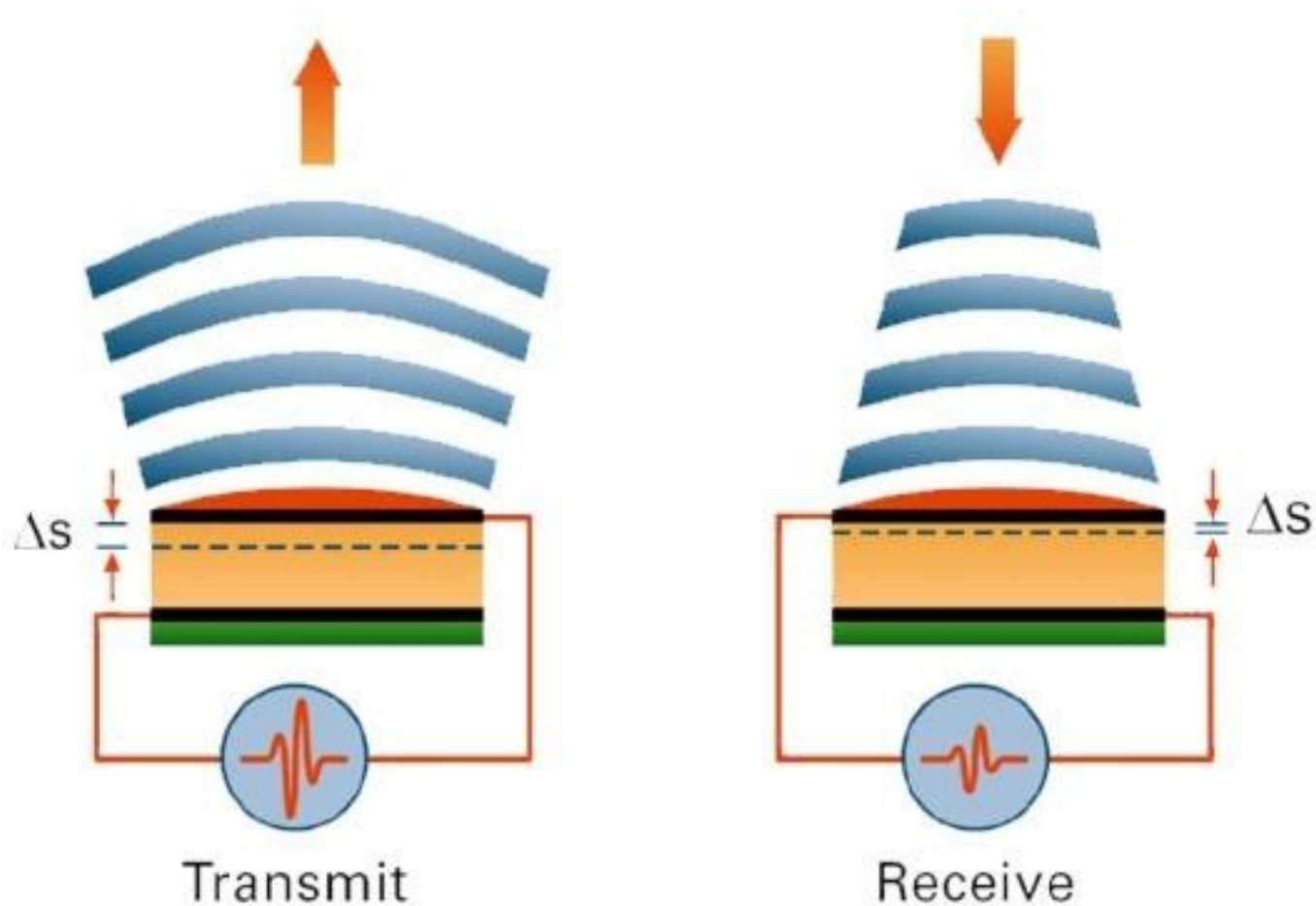
Ultrazvuková diagnostika

- diagnostická zobrazovací metoda založená na sledování odrazu ultrazvukových vln
- umožňuje v reálném čase sledovat struktury a pohyb vnitřních orgánů a průtok krve krevním řečištěm
- standardně se snímá obraz řezu tělních struktur v reálném čase (2–D)
- dopplerovské módy umožňují sledovat rychlost a směr pohybu krve v krevním řečišti (nebo obecně pohyby tkání)

Využití ultrazvukové diagnostiky

- běžně využívána k zobrazení vnitřních orgánů
- vyšetření kardiovaskulárního systému, sledování průtoku krve krevním řečištěm
- diagnostika onemocnění s bolestivými příznaky a otoky
- dopplerovská sonografie se využívá k sledování poruch v krevním řečišti – blokadí (sraženiny), zúžení krevního řečiště, vrozených malformací

Fyzikální princip



Kmitočtový rozsah

- kmitočtový rozsah zvukových vln (podélné vlnění, tlaková vlna)
 - < 16 Hz infrazvuk (mořský příboj, zvuky bouře)
 - 16 Hz – 20 kHz slyšitelné pásmo
 - > 20 kHz ultrazvuk (netopýři, delfíni)
- frekvenční pásmo používané v medicíně
2 MHz – 30 MHz

Rychlost šíření

- rychlost šíření ultrazvukové vlny je závislá na vlastnostech prostředí, kterým se šíří
 - ve vzduchu $\text{asi } 330 \text{ m}\cdot\text{s}^{-1}$
 - ve vodě (37 °C) $1520 \text{ m}\cdot\text{s}^{-1}$
 - v měkkých tkáních
 $1450 \text{ m}\cdot\text{s}^{-1}$ (tuk) až $1560 \text{ m}\cdot\text{s}^{-1}$ (játra, ledviny)
 - v kostech $3800 \text{ m}\cdot\text{s}^{-1}$

Vlnová délka

- vlastnosti ultrazvukové vlny

rychlost šíření v měkkých tkáních

$$c = 1540 \text{ m} \cdot \text{s}^{-1}$$

vlnová délka

$$\lambda = \frac{c}{f}$$

- vlnové délky $\lambda = 0,77 \text{ mm}$ až $0,05 \text{ mm}$
pro kmitočty $f = 2 \text{ MHz}$ až 30 MHz

Akustická impedance

$$Z = c \cdot \rho$$

- kde

c je rychlost šíření vlny v daném prostředí

ρ je hustota prostředí

Akustická impedance

Prostředí	Akustická impedance [$10^6 \text{ kg} \cdot \text{m}^{-2} \cdot \text{s}^{-1}$]
tuk	1,37
voda	1,49
mozek	1,58
játra, svalovina	1,66
kost	3,7 - 7,8
vzduch	0,00041

Odraz na rozhraní

- na každém rozhraní dvou prostředí s různou akustickou vodivostí dochází k odrazu části energie
- množství odražené energie je tím větší, čím větší je rozdíl akustických impedancí prostředí tvořících rozhraní
- činitel odrazu (poměr akustického tlaku odražené a dopadající vlny)

$$\frac{p_r}{p_e} = \frac{Z_1 - Z_2}{Z_1 + Z_2}$$

Odraz na rozhraní

- odraz na rozhraní ve vzdálenosti d od vysílače vyvolá dopad odražené vlny zpět na přijímač s časovým zpožděním t , platí

$$d = \frac{c \cdot t}{2}$$

Absorpce ultrazvukové vlny

- při průchodu vlny ztrátovým prostředím dochází k absorpci energie (přeměně na teplo)

$$p(x) = p_0 e^{-\alpha f x}$$

- kde

$p(x)$ je akustický tlak ve vzdálenosti x

p_0 je akustický tlak u zdroje vlnění

α je absorpční konstanta

f je frekvence vlny

Hloubka průniku

- střední hodnota absorpce pro měkké tkáně pro odražený signál (průchod tloušťkou $2d$)

$$0,6 \text{ dB cm}^{-1} \text{ MHz}^{-1}$$

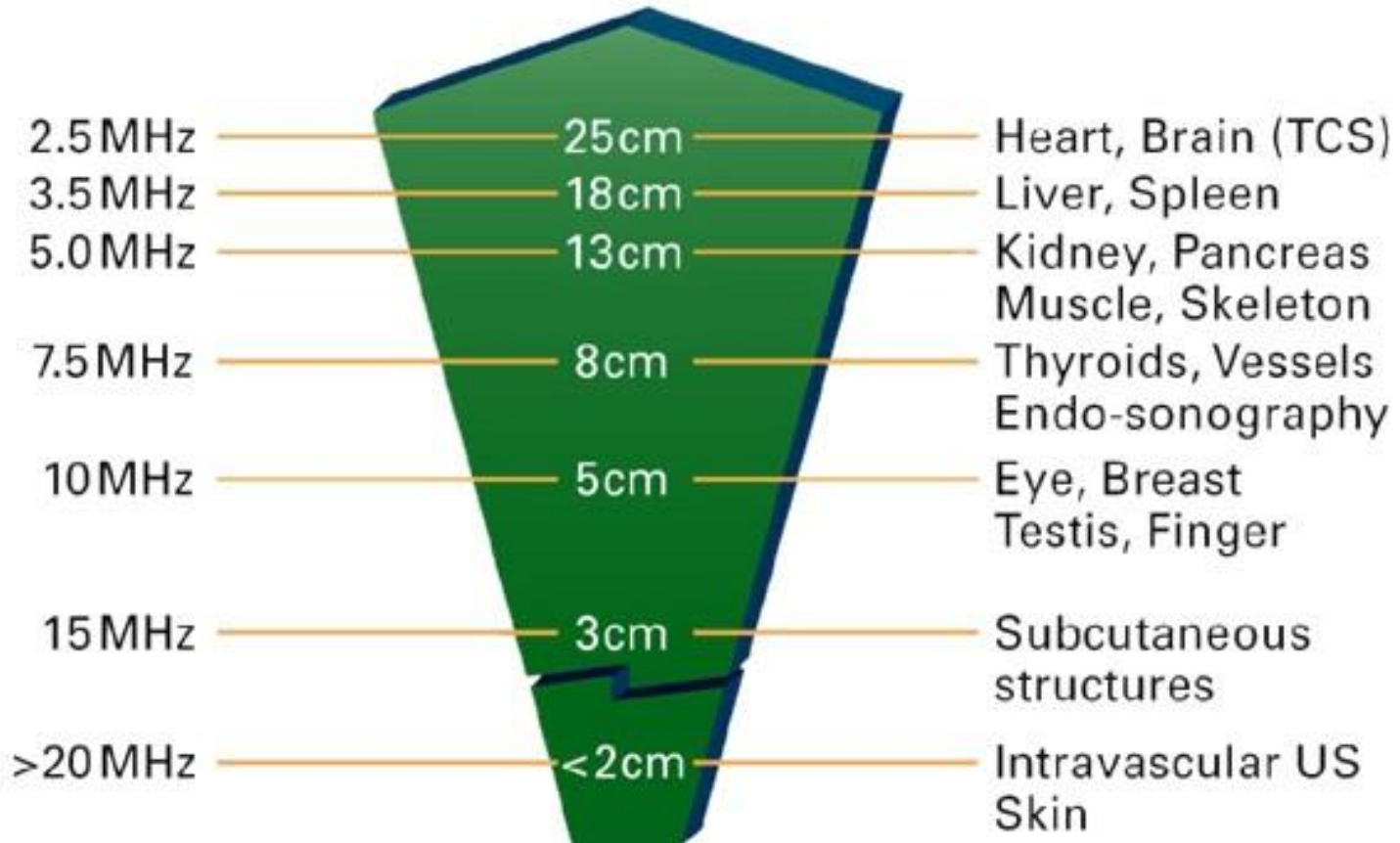
- **hloubka průniku (penetrace) je závislá na použitém kmitočtu ultrazvukové vlny**

Hloubka průniku

Frequency

Penetration

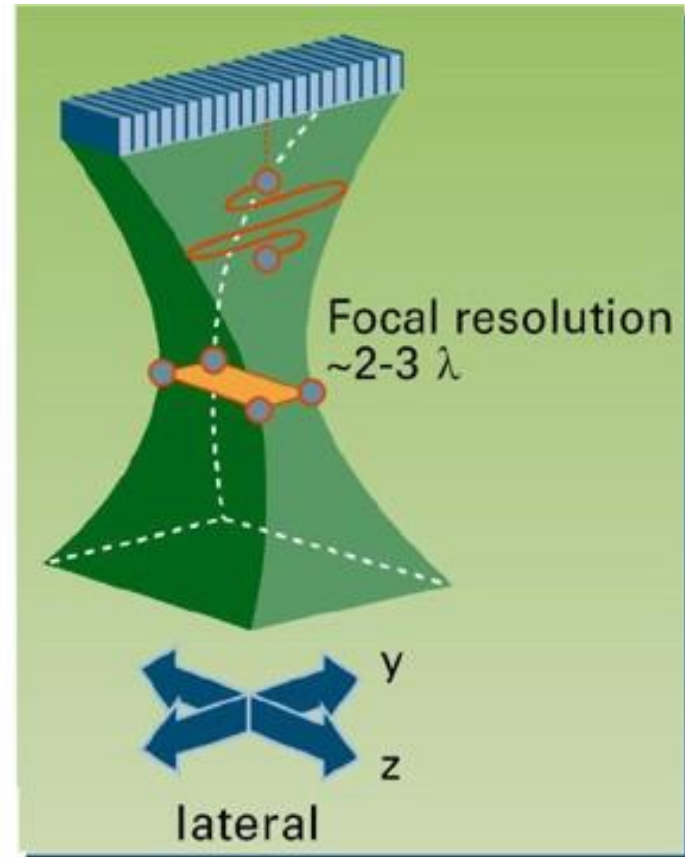
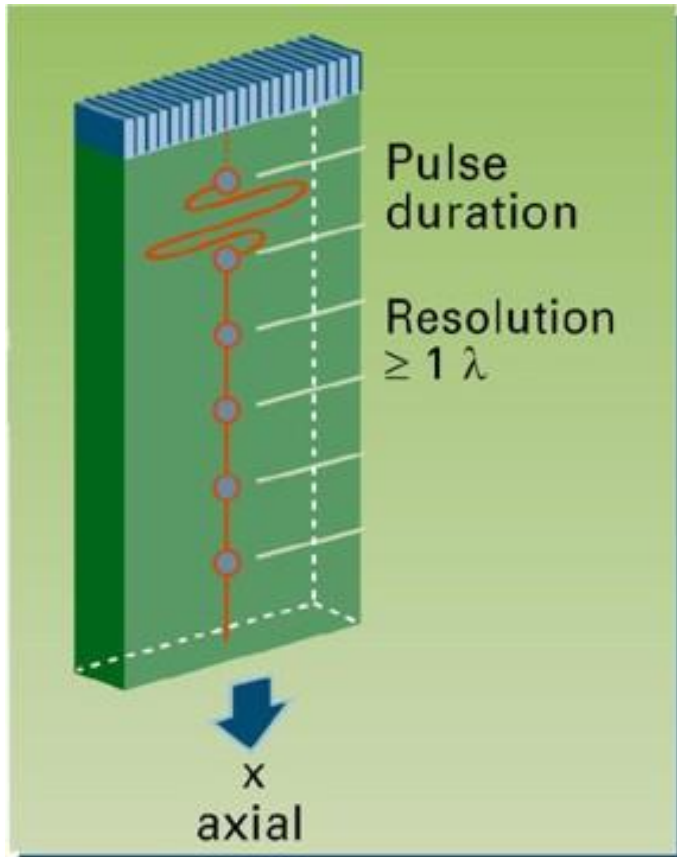
Applications



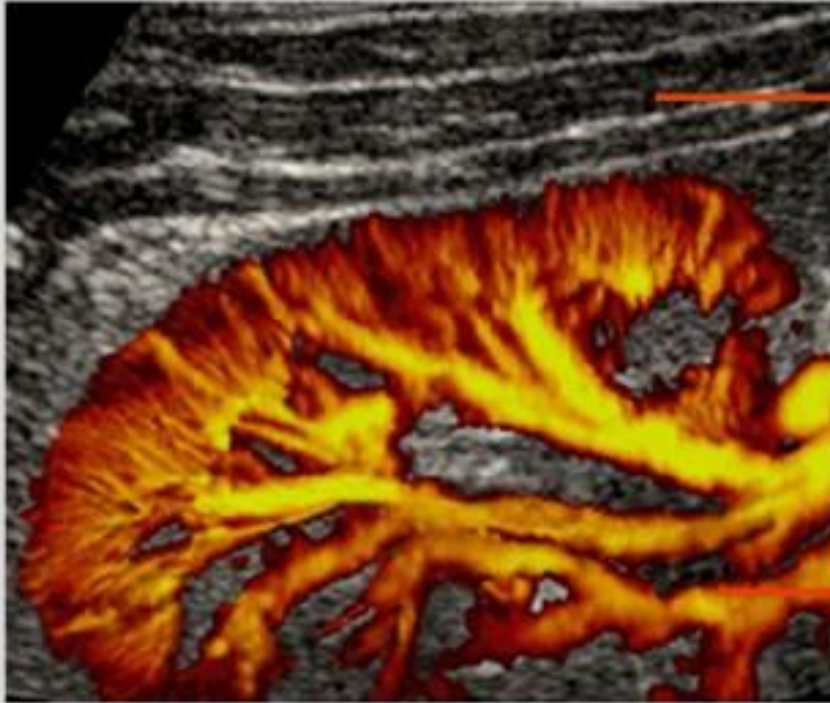
Rozlišovací schopnost

- rozlišovací schopnost je schopnost systému rozlišit dva objekty (nebo struktury) vzdálené od sebe o délku jejich průměru
- rozlišovací schopnost
 - axiální (ve směru šíření vlny)
 - laterální (ve směru kolmém na směr šíření vlny)
- obě rozlišovací schopnosti z principu nejsou shodné, lze říci, že jsou srovnatelné s vlnovou délkou použité ultrazvukové vlny

Prostorové rozlišení



Zobrazovací principy



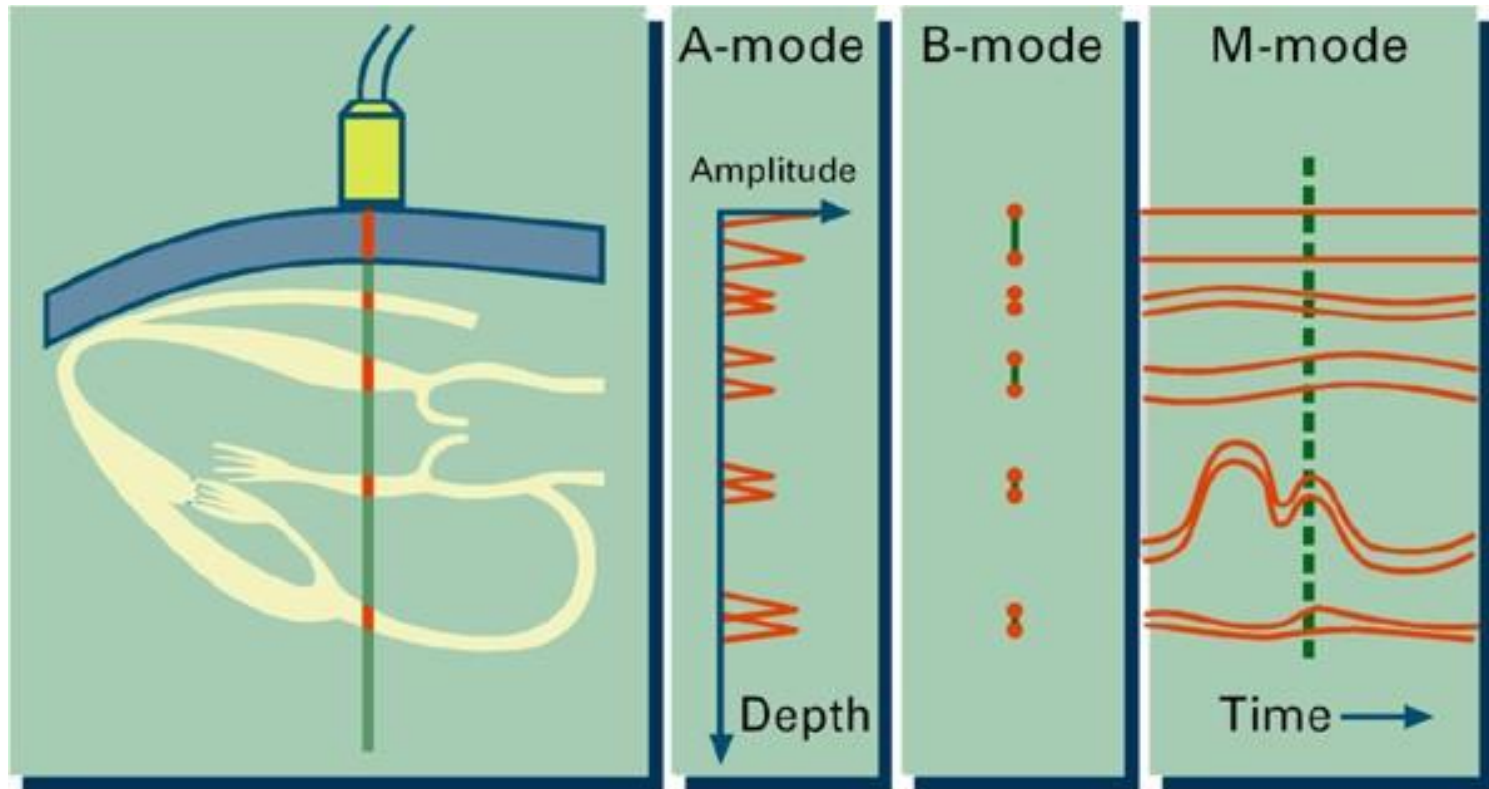
Gray scale imaging
of anatomical details and
tissue structures

superimposed by

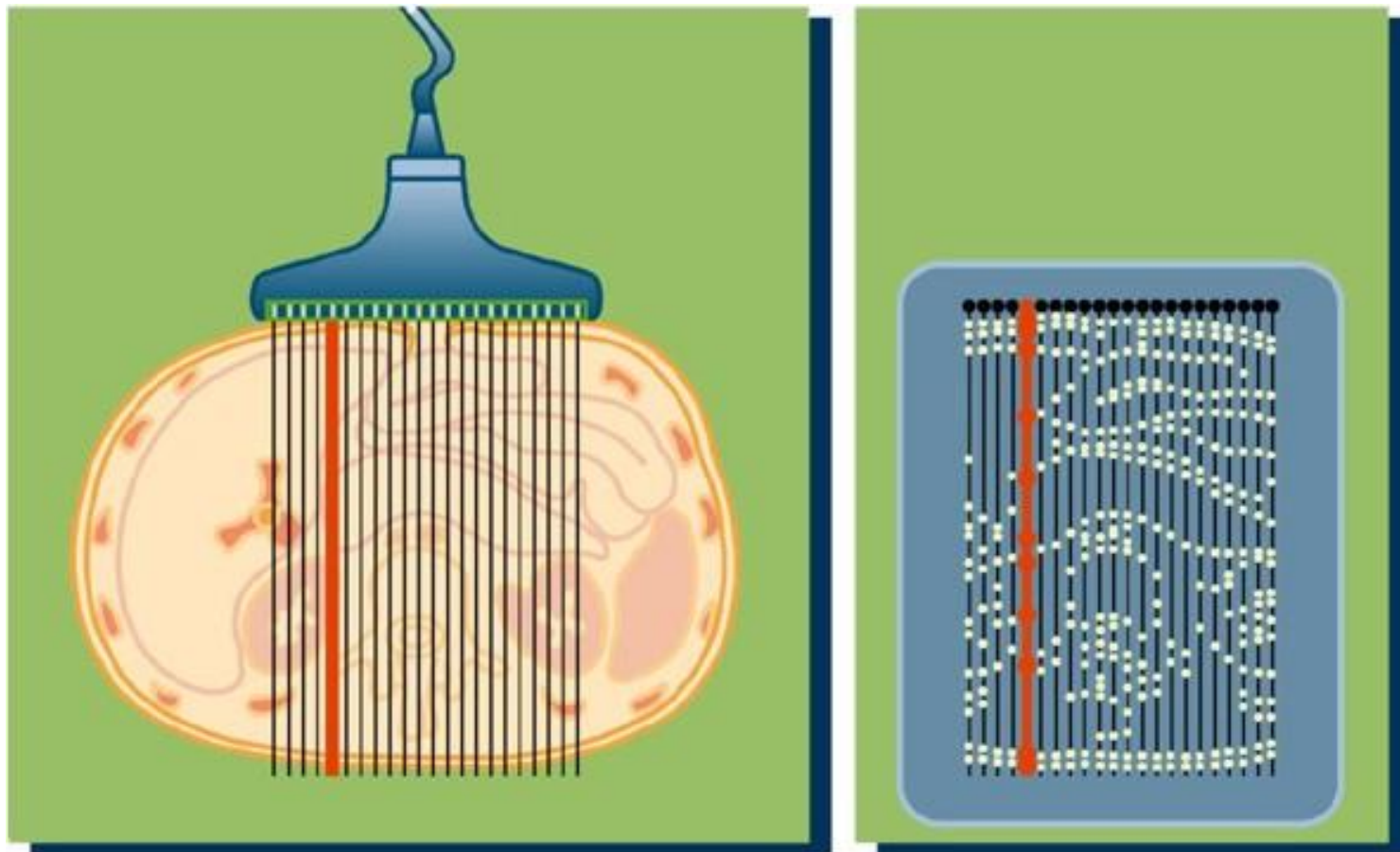
Color coded imaging
of vascular flow

Zobrazovací módy

- tři základní zobrazovací módy
A – mód, B – mód, M – mód

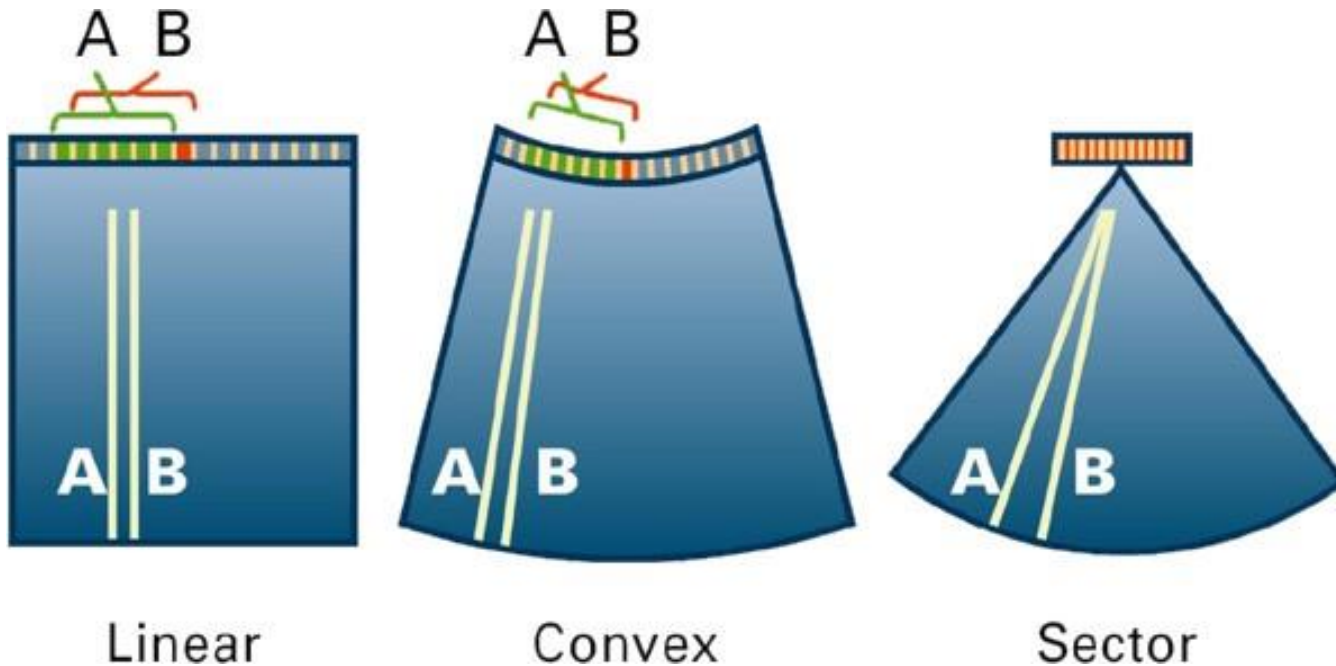


Vznik obrazu v B – módu



Techniky skenování objektu

- lineární sonda
 - dobré rozlišení v blízkém poli
- sektorová sonda
 - široký obraz ve vzdáleném poli



Dopplerův jev

- frekvence vlny vyslané pohybujícím se objektem

$$f_e = f_0 \left(1 \pm \frac{v}{c} \right)$$

- kde

f_e je frekvence přijímané (pozorované) vlny

f_0 je frekvence vysílané (generované) vlny

v je relativní rychlost pohybu zdroje ve směru k přijímači

c je rychlost šíření vlny

Dopplerovská diagnostika

- při odrazu od pohybujícího se objektu dochází ke změně frekvence odrážející se vlny

$$f_e = f_0 \left(1 \pm 2 \frac{v \cdot \cos \varphi}{c} \right)$$

- kde

f_e je frekvence odražené (přijímané) vlny

f_0 je frekvence dopadající (generované) vlny

v je rychlost pohybu překážky

φ je úhel sevřený směry pohybu překážky a vyslané vlny

c je rychlost šíření vlny

Dopplerova frekvence

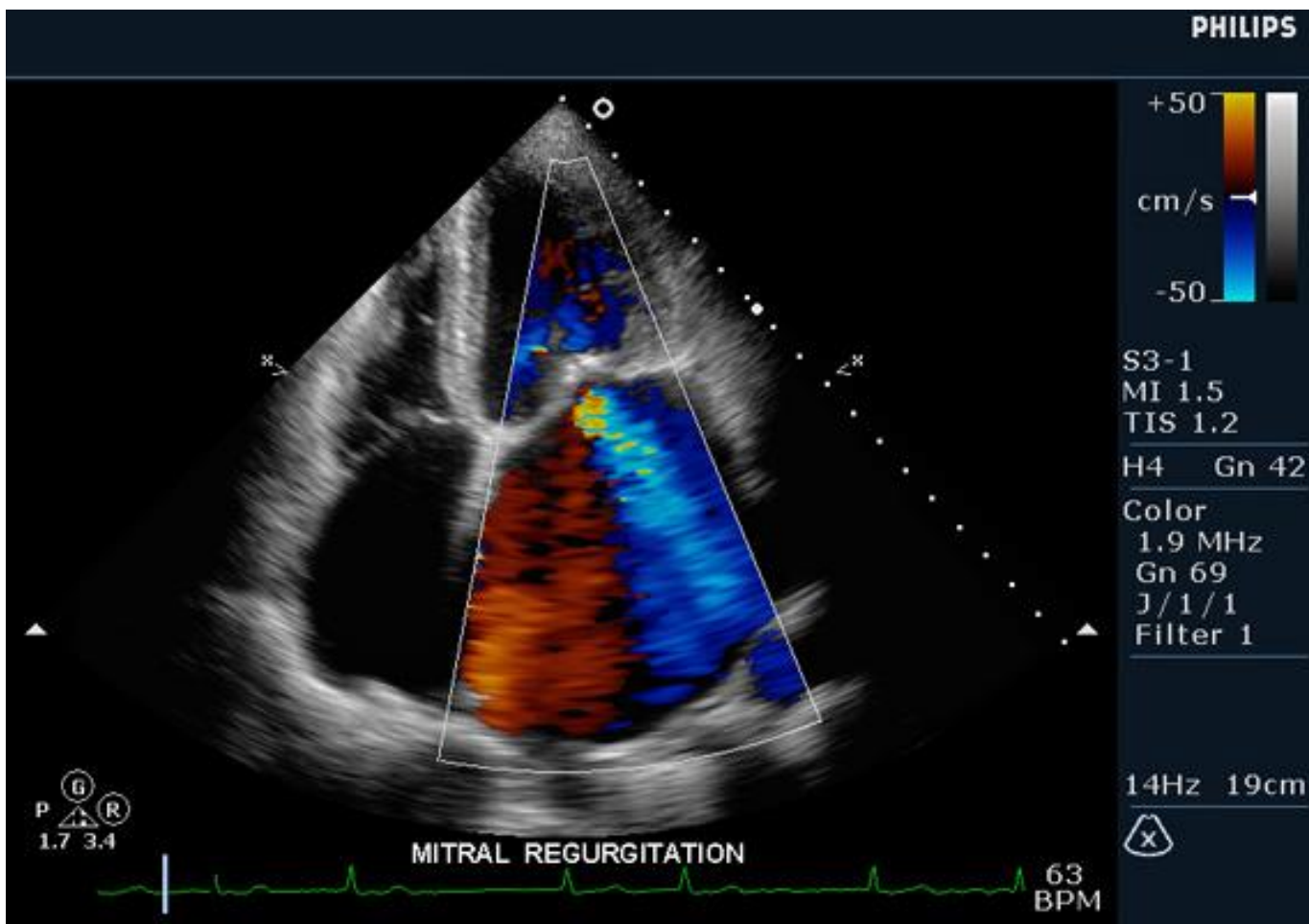
- rozdíl mezi frekvencí vyslané a přijaté vlny nazýváme *Dopplerova frekvence*

$$f_D = f_e - f_0 = \pm 2 f_0 \frac{v \cdot \cos \varphi}{c}$$

- rychlost pohybujícího se objektu je potom

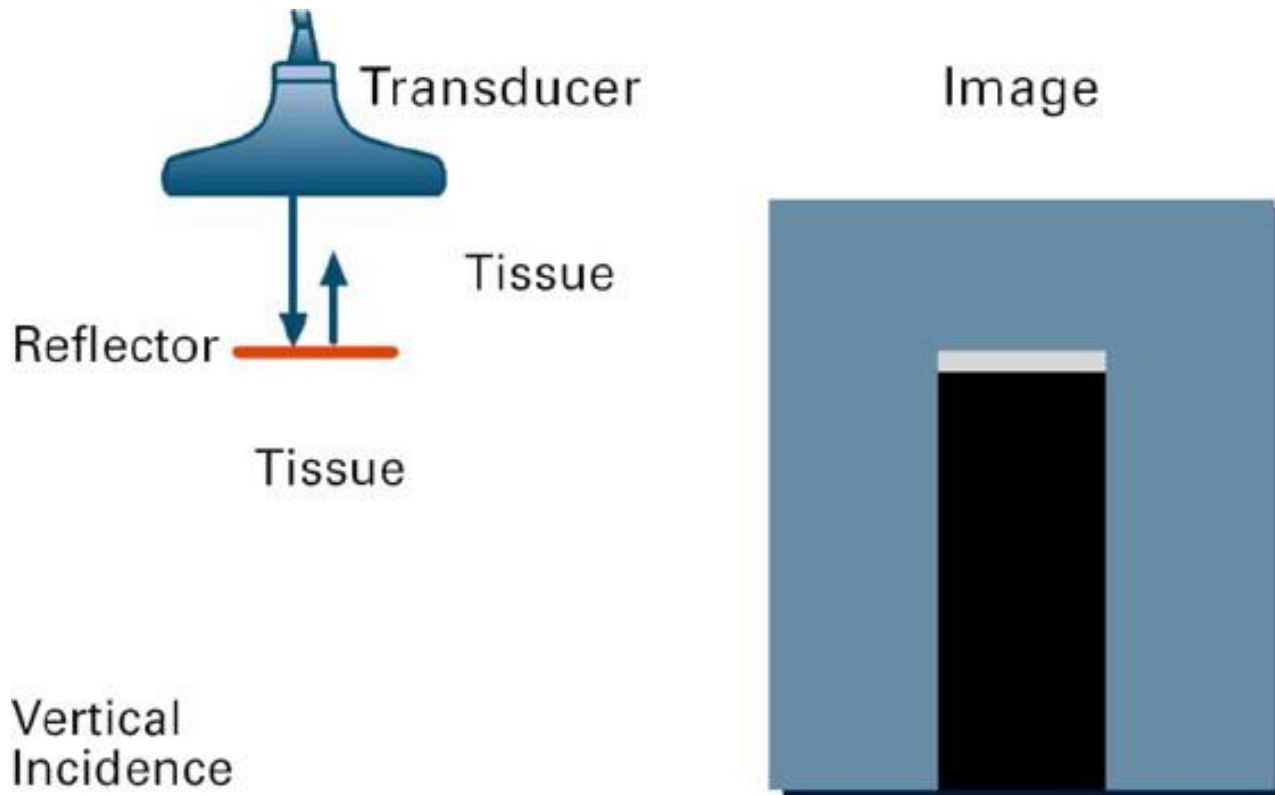
$$v = \pm f_D \cdot \frac{c}{2 f_0 \cos \varphi}$$

Obrazové artefakty



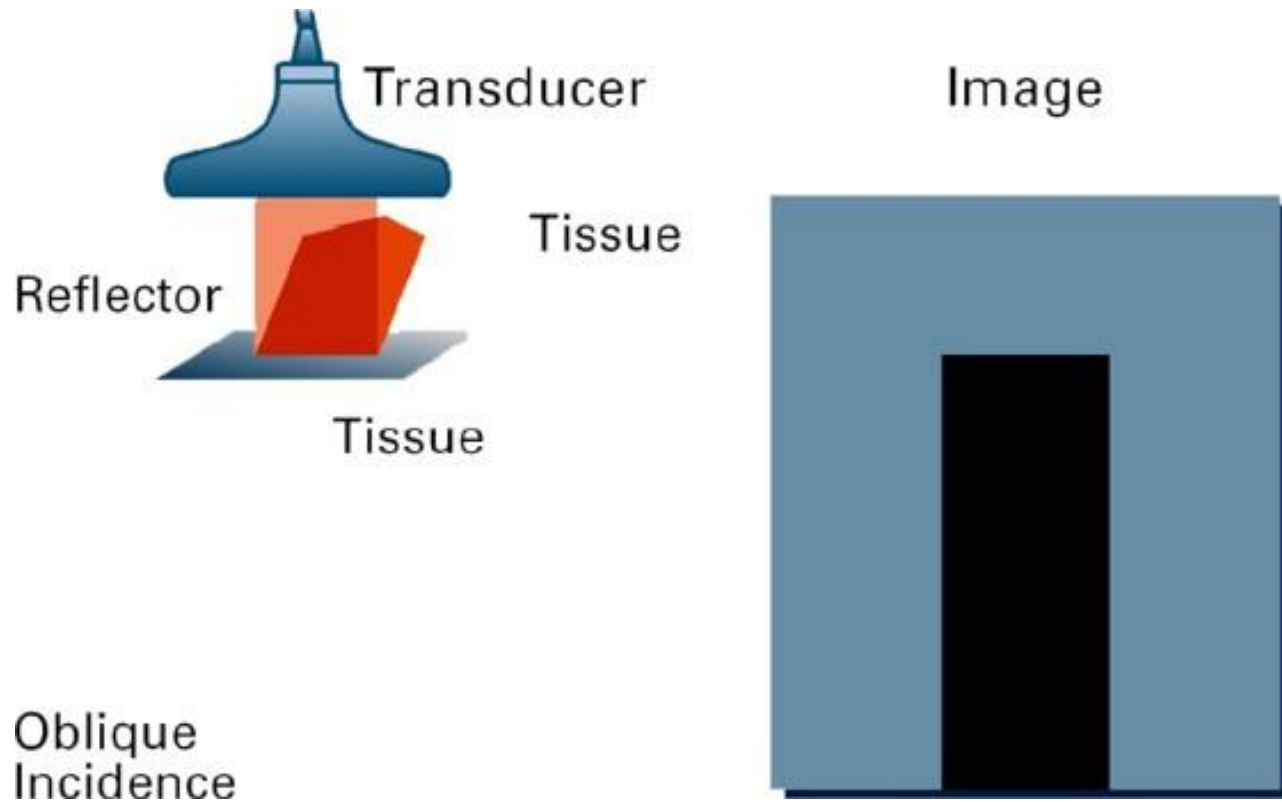
Odraz signálu

- odraz na silně odrazných elementech obrazového pole, např. kostech, kamenech, vzduchu apod.



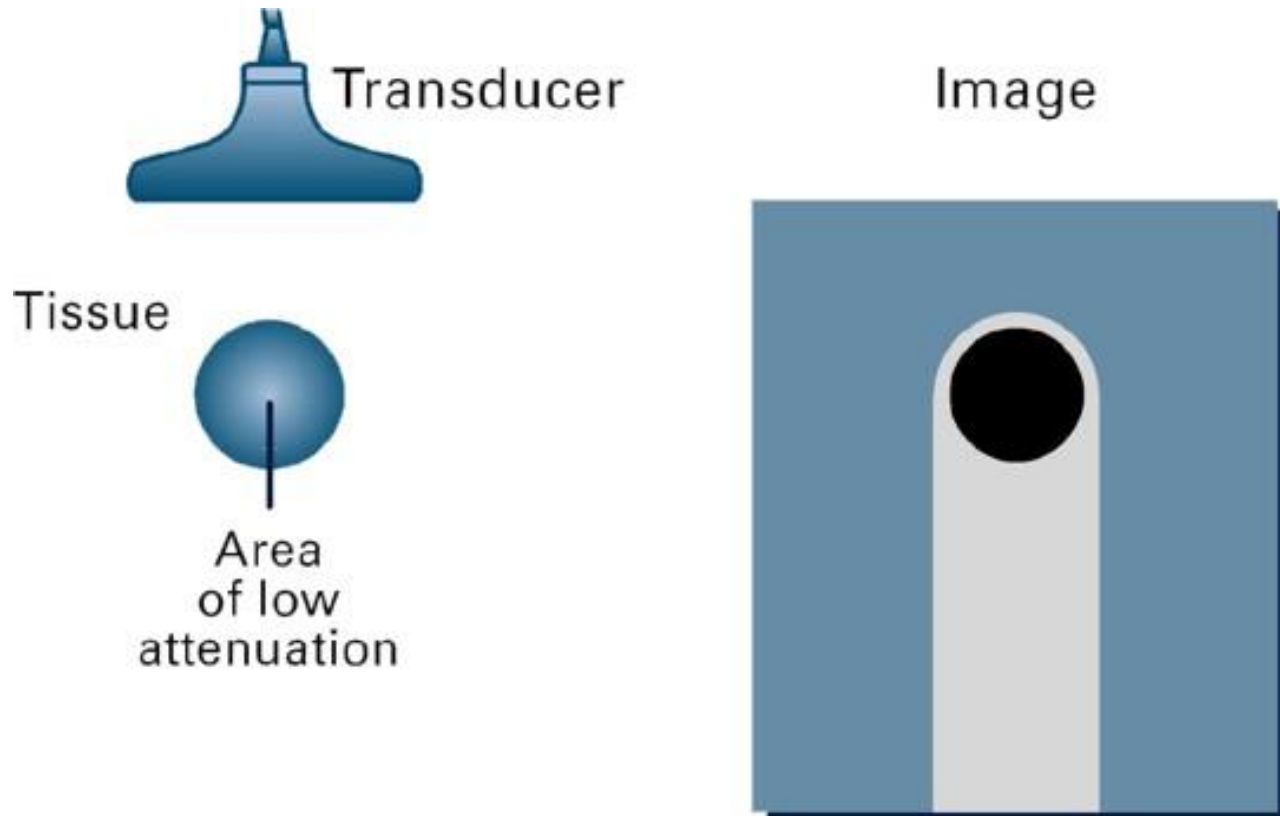
Odraz signálu

- odraz na skloněné ploše



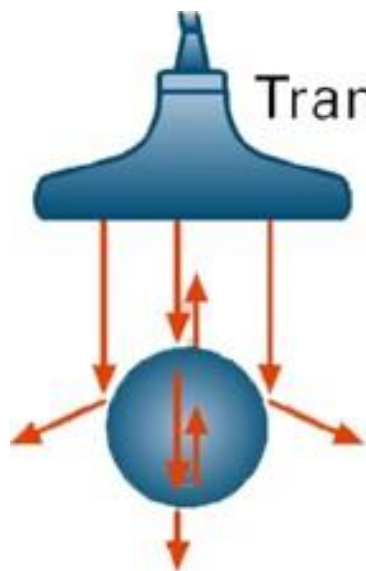
Zesílení odrazu

- falešné zesílení signálu při průchodu přes oblast s menším útlumem

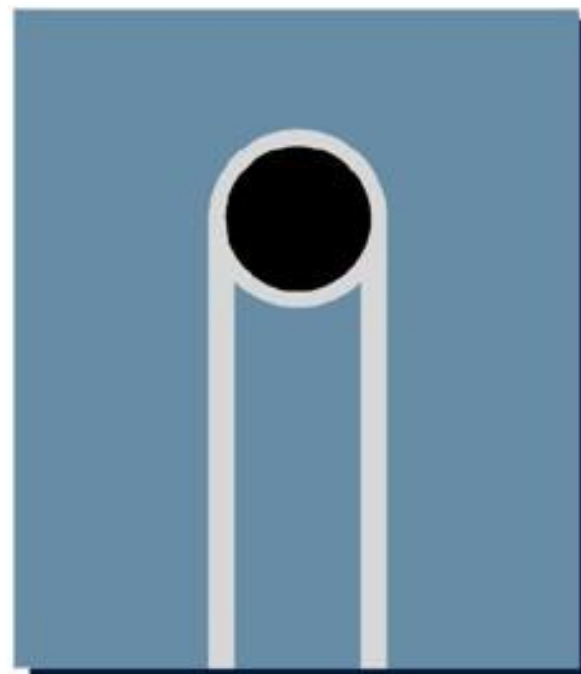


Okrajové (tečné) zkreslení

- totální odraz tečných paprsků

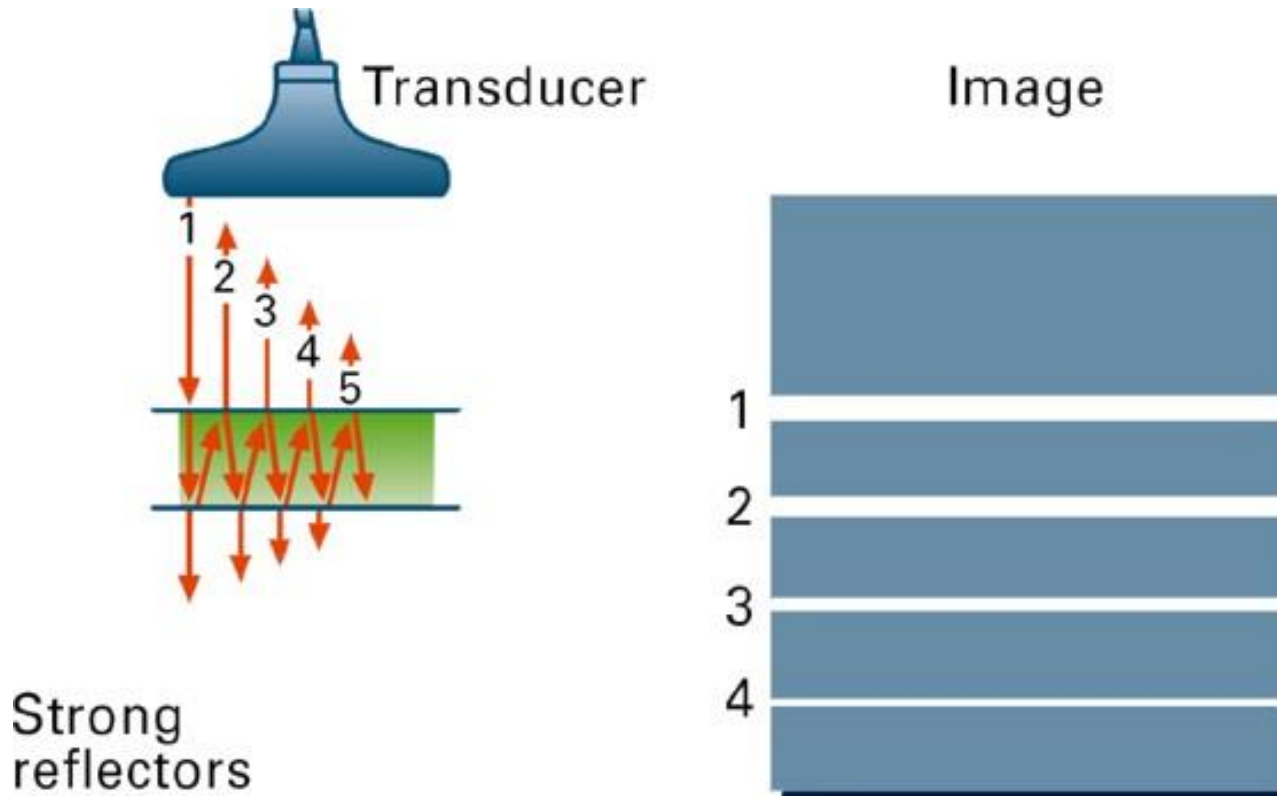


Image

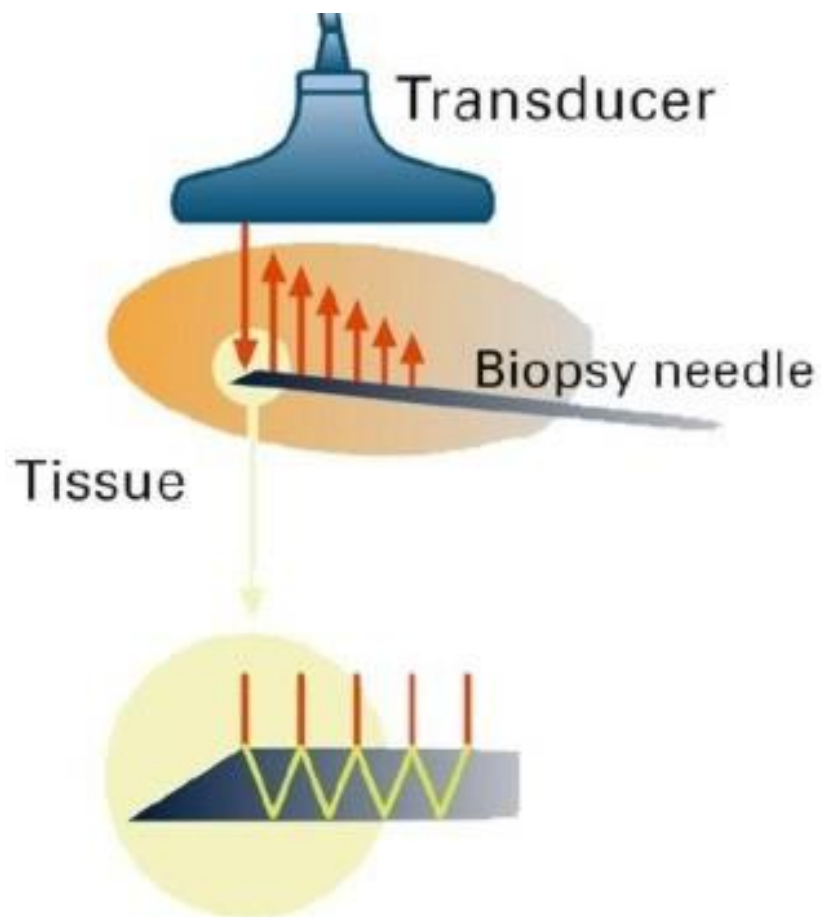


Ozvěna

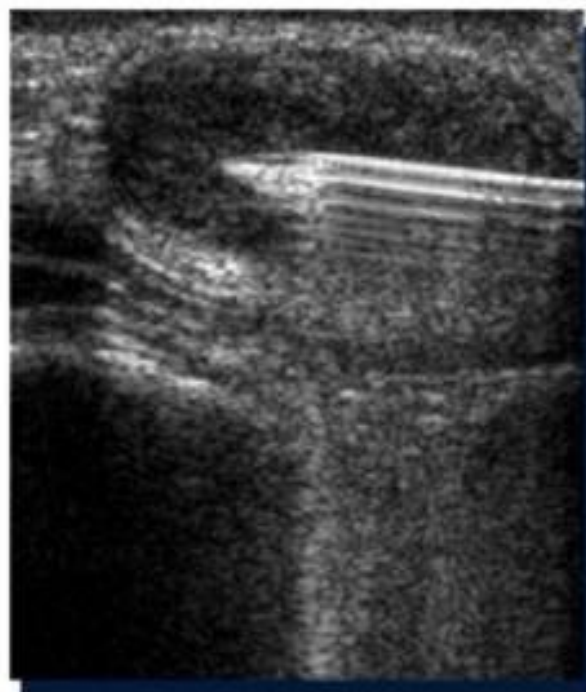
- opakovaný odraz signálu na dvojitém rozhraní akustických prostředí



Ozvěna

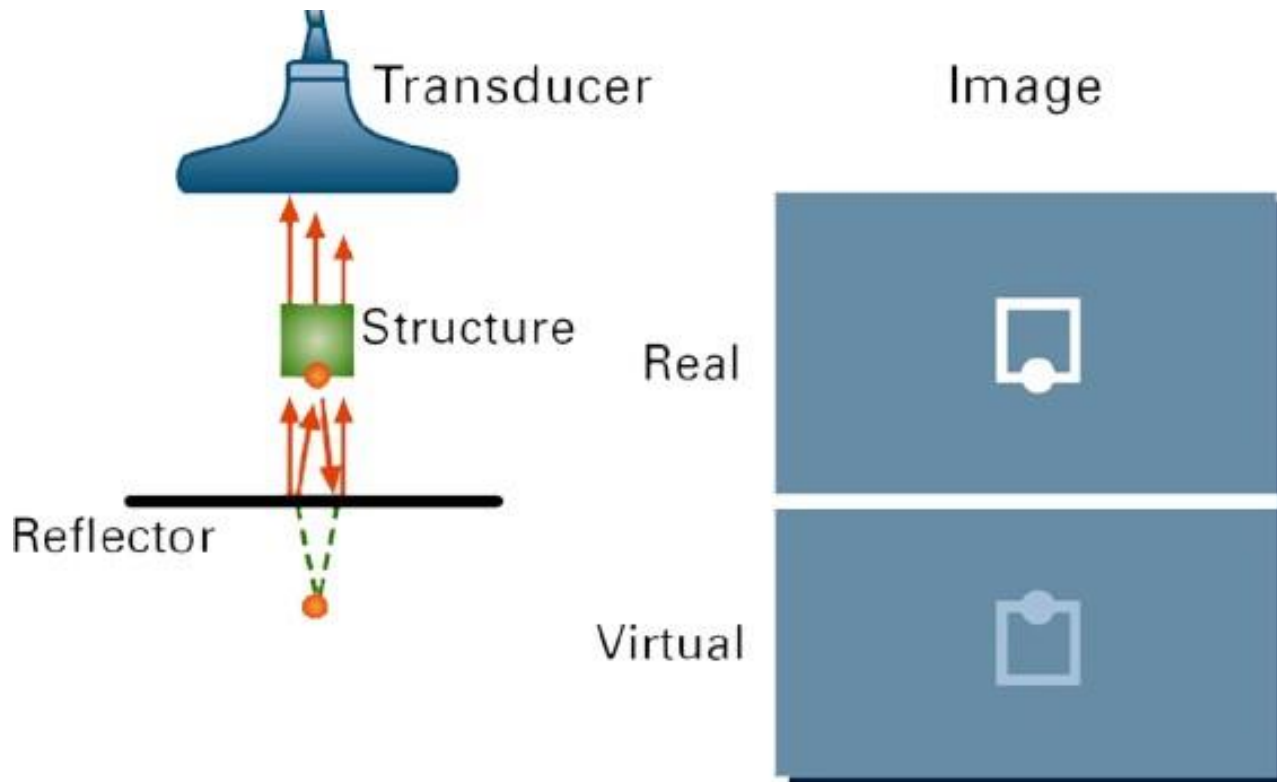


Image



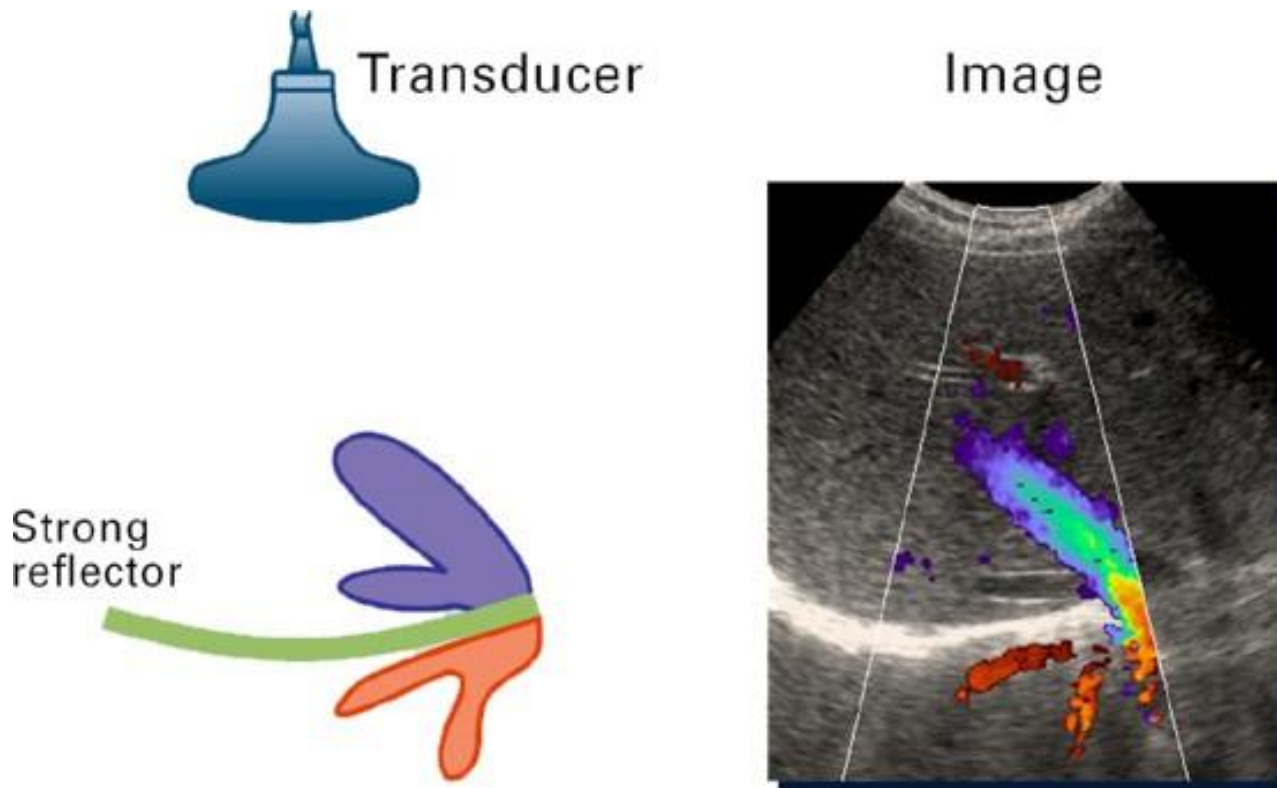
Zrcadlení

- vznik falešného obrazu sejmutím odražené vlny



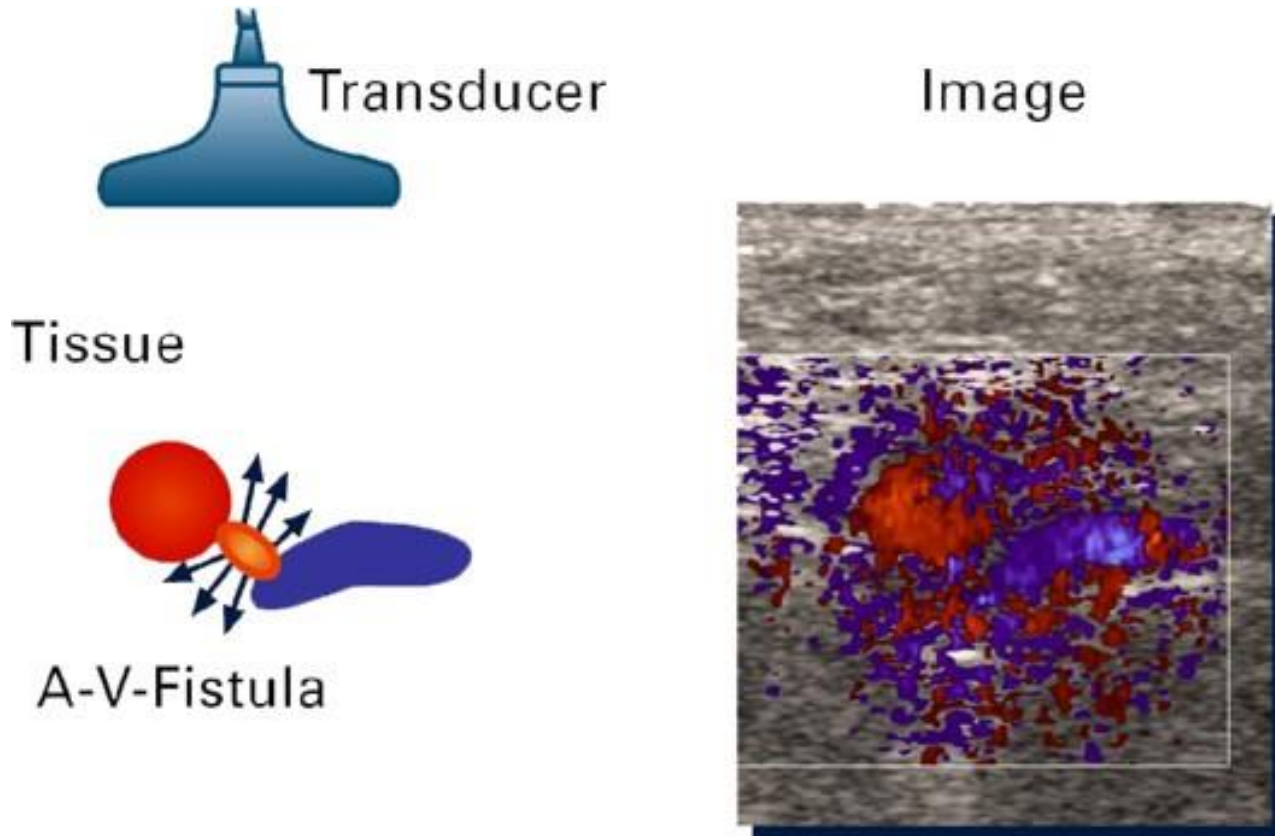
Zrcadlení v dopplerovských režimech

- k zrcadlení dochází nejenom v B – módu



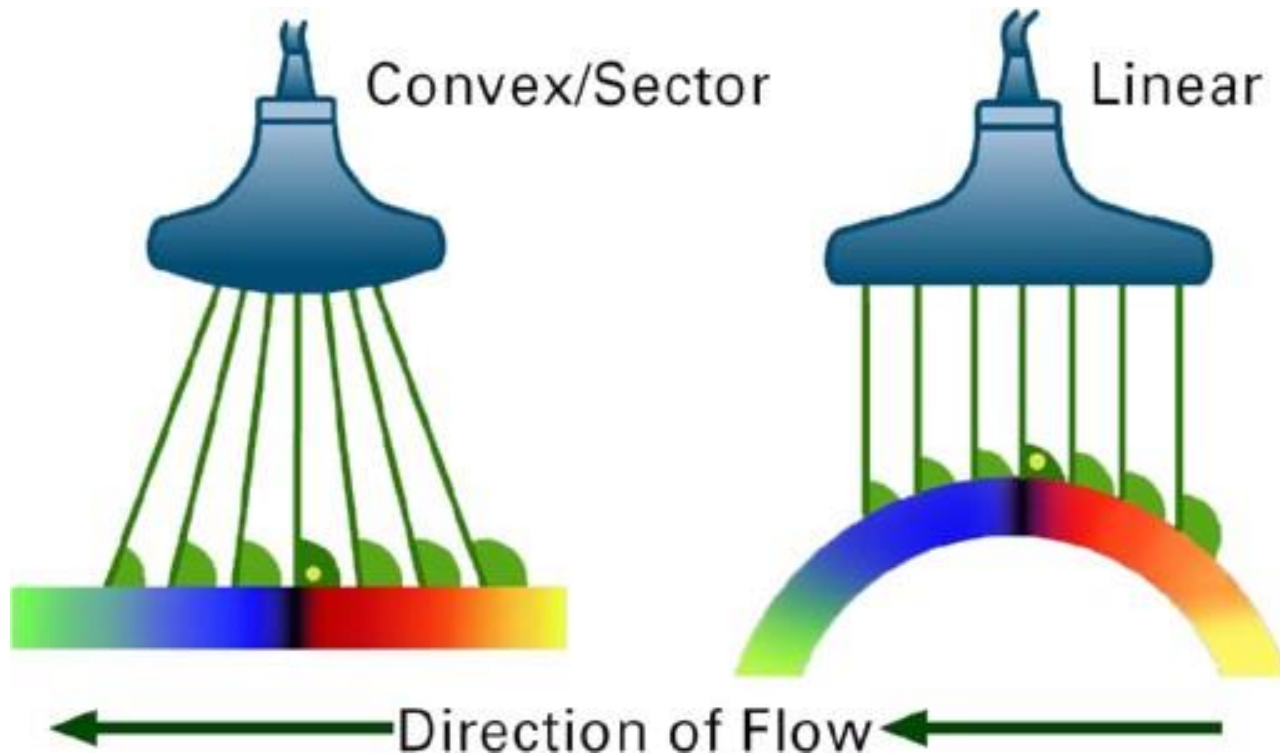
Vibrace tkání

- turbulentní proudění krve za zúženými tepen a cév může vést k vibracím okolních tkání



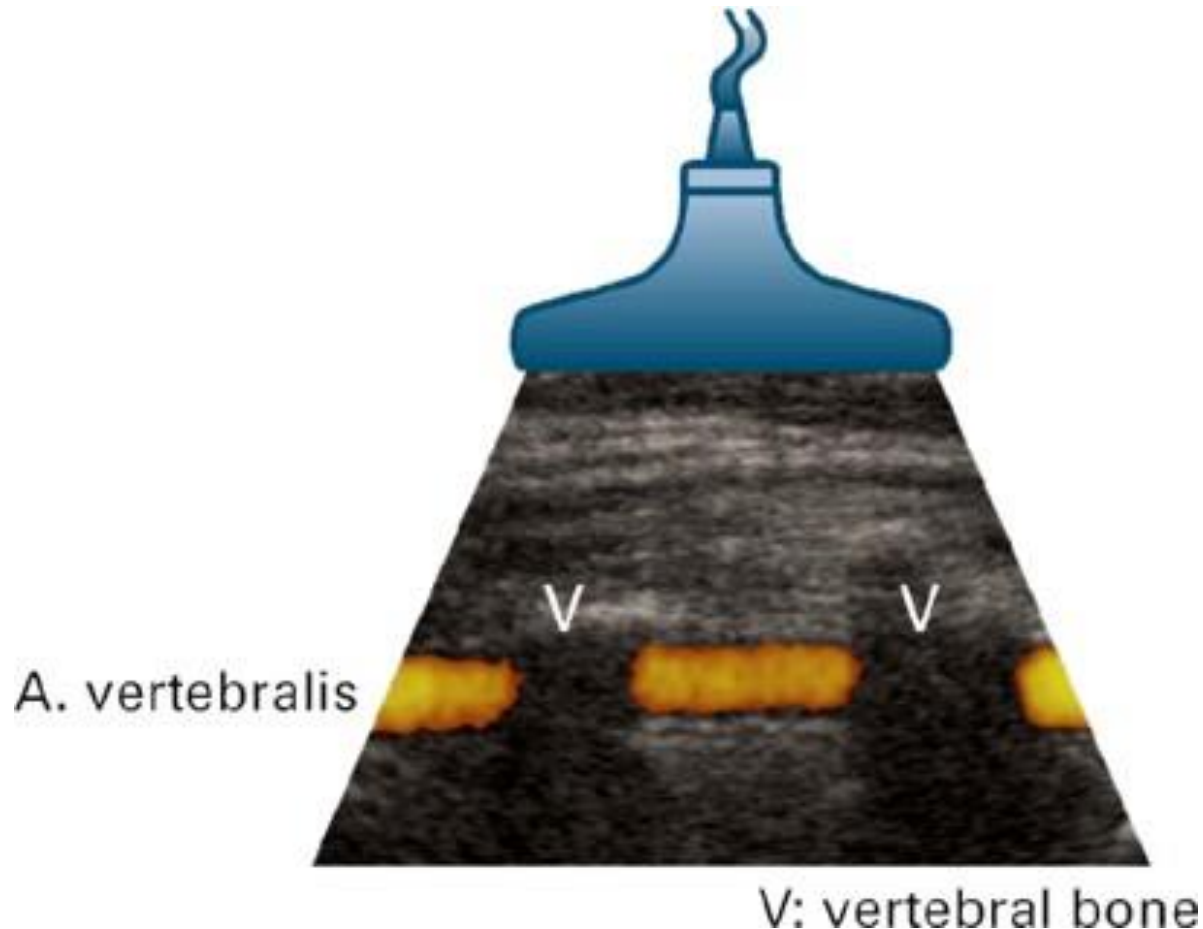
Artefakty způsobené změnou snímacího úhlu

- „reverse-flow“ artefakt (pouze v Color Doppler módu)
- „flow acceleration“ artefakt



Stíny v dopplerovských módech

- vznik stínů může v dopplerovských módech vést ke vzniku několika zdánlivě nesouvisejících obrazů



Literatura

- Siemens Medical: Principles of Ultrasound Imaging. 2000.
- Wikipedia: Ultrasound. [5/2007]
- Wikipedia: Obstetric Ultrasonography. [5/2007]
- www.radiologyinfo.org: Ultrasound – General [5/2007]
- Zuna, I., Poušek, L.: Úvod do zobrazovacích metod v lékařské diagnostice I. Nakladatelství ČVUT, Praha, 2007.